

## 3.6.1 Спектральный анализ электрических сигналов.

Александр Романов Б01-107

### 1 Введение

#### 1.1 Цель работы

Изучить спектральный состав периодических электрических сигналов.

#### 1.2 В работе используются

Анализатор спектра, генератор прямоугольных импульсов и сигналов специальной формы, осциллограф.

#### 1.3 Идеи

##### 1.3.1 Разложение сложных сигналов в ряд Фурье

При изучении линейных систем возникает необходимость представления произвольного сигнала  $f(t)$  в виде ряда Фурье:

$$f(t) = \sum_n c_n e^{i\omega_n t}$$

Получим коэффициенты разложения в ряд Фурье для периодического колебательного процесса общего вида  $f(t) = f(t + T)$ , где  $T$  - период процесса. Покажем, что этом случае функция  $f(t)$  может быть представлена бесконечной суммой гармонических колебаний с кратными частотами:

$$f(t) = \sum_{n=-\infty}^{\infty} c_n e^{in\omega_0 t} \quad (1)$$

Нетрудно видеть, что все слагаемые в этой сумме – периодические функции с периодом, кратным  $T$  и они полностью исчерпывают набор гармонических функций, удовлетворяющих  $f(t) = f(t+T)$ . Таким образом периодическая функция имеет дискретный спектр с кратными частотами. Спектр – то есть набор коэффициентов  $\{c_n\}$  – можно найти следующим образом: домножим обе части равенства (1) на  $e^{-im\omega_0 t}$  и проинтегрируем по времени  $t$  за период (Например, от 0 до  $T$ ). Получим

$$\int_0^T f(t) e^{-im\omega_0 t} dt \sum_n c_n \int_0^T e^{i(n-m)\omega_0 t} dt$$

Вычислим интеграл в правой части:

$$\int_0^T e^{i(n-m)\omega_0 t} dt = \begin{cases} 0 & \text{if } n \neq m \\ T & \text{if } n = m \end{cases}$$

Таким образом получаем

$$c_n = \frac{1}{T} \int_0^T f(t) e^{-in\omega_0 t} dt. \quad (2)$$

### 1.3.2 Периодическая последовательность прямоугольных импульсов

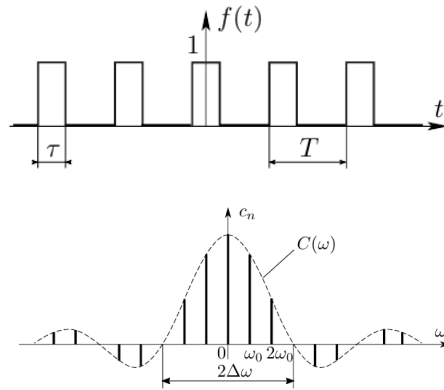


Рис. 1: Периодическая последовательность прямоугольных импульсов и её спектр (Для  $\tau = \frac{T}{3}$ ).

Рассмотрим сигнал на рис 1 .

### 1.3.3 Периодическая последовательность цугов гармонических колебаний

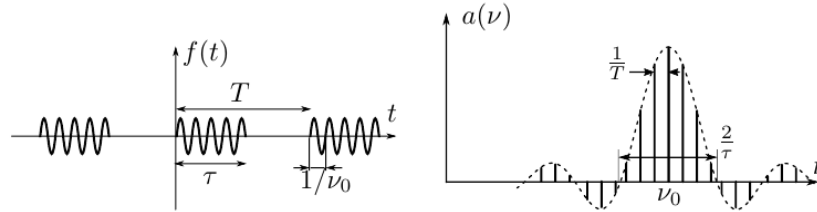


Рис. 2: Периодическая последовательность прямоугольных импульсов и её спектр.

Рассмотрим сигнал на рис 2. Это - цуги колебания  $A_0 \sin(\nu_0 t)$  Снова пусть  $T$  кратно  $\tau$ . Тогда Спектры последовательности идентичны прямоугольным импульсам, но сдвинуты на  $\nu_0$ . Соотношения неопределённости остаются прежними:

$$\Delta \nu \tau \simeq 1$$

$$\delta \nu T \simeq 1$$

### 1.3.4 Амплитудно-модулированные колебания

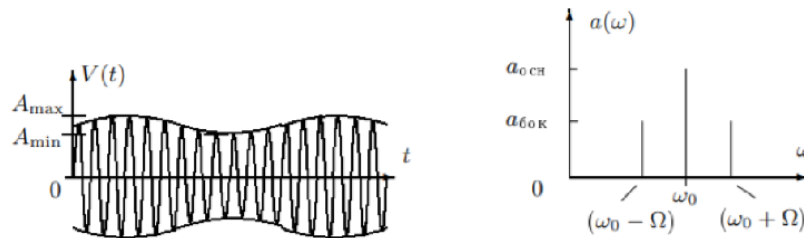


Рис. 3: Амплитудно-модулированный сигнал и его спектр.

Рассмотрим (Рис. 3) гармонические колебания высокой частоты  $\omega_0$ , амплитуда которых медленно меняется по гармоническому закону с частотой  $\Omega \ll \omega$ .

$$s(t) = A_0 [1 + m \cos \Omega t] \cos \omega_0 t$$

Коэффициент  $m$  называется *глубиной модуляции*. При  $m < 1$  амплитуда меняется от минимальной  $A_{min} = A_0(1 - m)$  до максимальной  $A_{max} = A_0(1 + m)$ . Глубина модуляции может быть представлена в виде

$$m = \frac{A_{max} - A_{min}}{A_{max} + A_{min}}.$$

Отсюда можно легко переписать уравнение сигнала как:

$$s(t) = A_0 \cos \omega_0 t + \frac{A_0 m}{2} \cos (\omega_0 + \Omega) t + \frac{A_0 m}{2} \cos (\omega_0 - \Omega) t.$$

## 2 Работа

### 2.1 Исследование спектра периодической последовательности прямоугольных импульсов

Устанавливаем на генераторе прямоугольные импульсы с  $\nu_{rep} = 1kHz$  и длительностью импульса  $\tau = 100\mu S$ . Получаем на экране спектр сигнала и, изменяя поочередно  $\tau$  и  $\nu_{rep}$  будем наблюдать как изменяется спектр.

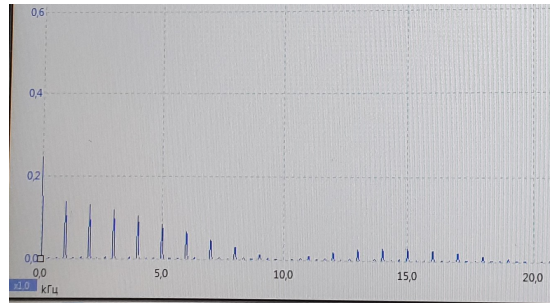


Рис. 4: Спектр при  $\nu_{rep} = 1kHz, \tau = 100\mu S$

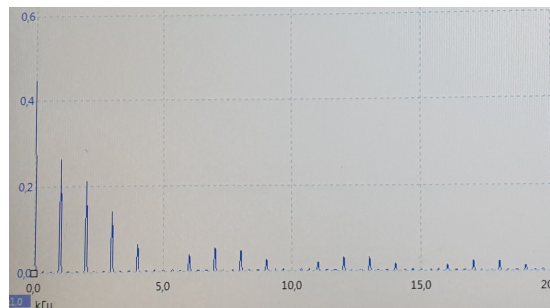


Рис. 5: Спектр при  $\nu_{rep} = 1kHz, \tau = 200\mu S$

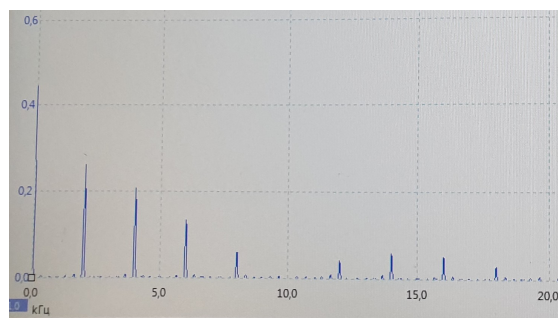


Рис. 6: Спектр при  $\nu_{rep} = 2\text{kHz}$ ,  $\tau = 100\mu\text{S}$

### 3 Выводы